

# 地震波スペクトルと地表層構造

信州大学工学部 ○島 坦, 泉谷恭男, 黒 広志

## 1. まえがき

地震波形については観測に用いる地震計の特性を除くと、震源における地震波の発生機構、媒質中の伝播特性、さらに地表付近の層構造による周期特性等に左右される。地震学における波動の研究では比較的よい地盤で観測を行なうのが普通であるが、工学的応用の立場では地表層構造の特性を知るために種々の地盤において観測を行なっている。従って地盤によってどの程度地震波形が変化するかについて十分調べることは基盤の深さおよび入力地震波の波形の推定と共に興味あることと思われる。

波形解析においてP波あるいはS波といった位相につづいてあらわれる振動波形は、地表付近の地下構造に強く支配されていることはこれまで常時微動との比較からも確かめられている。ここではいくつかの近地地震の記録についてスペクトルを調べているが、波形をS波の到達時で分け、S波以後の波形のスペクトルとP波からS波に到る波形のスペクトルの振幅比で議論してみた。その結果から表層構造による伝達関数を求め、多層構造における重複理論から得られた伝達関数と対比させた。用いた観測資料は震央距離約30km～400kmにわたる地震で、距離と震源の深さの異なる地震のスペクトルから表層構造との関係を調べた。なお観測点は長野市南部を流れる犀川の付近で粘土及び砂レキ層より成る地盤である。

## 2. 近地地震波形のスペクトル

2-1 観測 解析を行なった地震についてはTable 1に示すとおりで、発震時、震源位置、マグニチュードは気象庁で決定されたものが主であるが、松代群発地震については東大北信微小地震観測所で決定された値である。No.1, No.2 の地震は震央距離約30～40kmの極近地地震、あとは約140～400kmの範囲にあるが、No.3, No.6 は深い地震で No.4, No.5 は浅い地震である。

観測は地表では周期1秒の地震計で速度記録、地中では3c/sの加速度計で地下17mの点で記録を得ている。ここに用いた資料はほとんど地表観測によるものである。

2-2 地震波のスペクトル 地震波形の解析にあたって工学的応用の面では、ランダム波形という考え方から位相を問わず記録全体について行なうことが多いが、波の性質の相異を考慮してS波の到達時で分けて考える。P波からS波に至る相（以後P～S相という）の波形とS波以後の相（以後S～L相という）の波形についてスペクトルを比較してみよう。図1a)～f)にTable 1に掲げた6個の地震についてスペクトルを両対数目盛で示す。図から分るようにS～L相の方がP～S相に比べて振幅が大きくており、そのスペクトルの形は周期と共に増大するが、近い地震では特定の周期で最大値がでてくるという一般的な結果が得られている。このような傾向の中でスペクトル振幅は振動的に変化し、いくつかの卓越した周期成分をもつ。全体についてみたとき、比較的明瞭な卓越周期は0.2～0.3秒、0.8～1.0秒、1.5秒あたりにあらわれる。しかし図1をみた範囲では地震によって若干変っており、またP～S相とS～L相によても相異しているようにみえ、6つの地震について共通してよくあらわれる周期は分りにくい。ここで表層構造による振動特性を調べるために、図1に示したP～S相とS～L相のスペクトル振幅の比較から議論してみることにしよう。

## 3. 地表層構造の振動特性

Table 1. List of earthquakes

| No. | Date                  | Location of Epicenter | Depth (km)       | Mag. | Dist. (km) |     |
|-----|-----------------------|-----------------------|------------------|------|------------|-----|
| 1.  | 1975 Apr 23, 030456.2 | Sakai-mura*           | 36°23'N 138°03'E | 8    | 3.4        | 30  |
| 2.  | Mar 6, 193718.4       | Honjo-mura*           | 36 20 137 55     | 0    | 3.8        | 41  |
| 3.  | Mar 11, 175731.1      | Tochigi Pref.         | 36 31 139 43     | 130  | 5.1        | 137 |
| 4.  | Apr 18, 034108.4      | Ibaragi Pref.         | 36 08 139 51     | 50   | 5.0        | 158 |
| 5.  | Apr 21, 124515.2      | Off Ibaragi Pref.     | 36 30 140 42     | 60   | 4.8        | 225 |
| 6.  | May 30, 004446.1      | S off Chubu           | 33 06 137 19     | 380  | 6.2        | 402 |

\* Epicenter determined by Hokushin Seis. Obs., Tokyo Univ.

### 3-1 S～L相と P～S相のスペクトル振幅の比

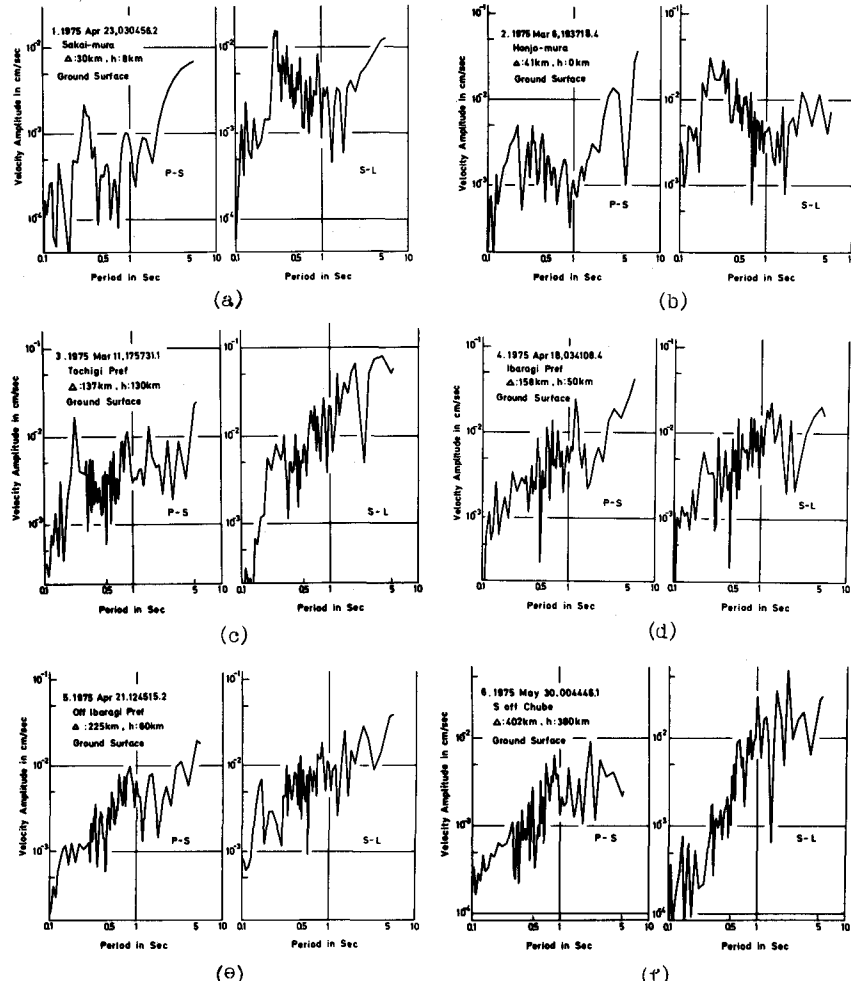


Fig. 1 P～S相と S～L相のスペクトル

るが、2つの地震についての全体の傾向はb)の場合と異って周期によらず一定のレベルで振幅比が変化していると思われる。

ここでFig. 2, a), b), c)にみられる傾向に対してどのように解釈すべきであるかについて一つの考察を行ない、表層構造の振動特性を求めてみよう。

### 3-2 スペクトル振幅比に対する入力地震波の影響

地震記録の中で地表構造の特性を知るためにには、地盤の基礎に到達する入力波形の影響がどの程度残っているかが問題である。入力地震波はマニチュードや震源より地盤基礎までの媒質中のエネルギーの吸収によって周期特性が変化することはよく知られている。

地震波のスペクトルにおいて地震発生の機構を考慮した研究が多くなされているが、それらの結果スペクトルの長周期側では周期に関係せず一様な部分と短周期側では周期の  $n$ 乗に比例して増大する部分があり、その交点として折れ曲りの周期が存在する。一方地震波スペクトルの位変振幅が一様である周期範囲において S波と P波の振幅レベルの比は Hanks and Wyss (1972) 等の研究によって述べられている。その一例として地震発生時における有効応力が地震発生のため全部消費されたとき、P波と S波

### S～L相の波形と P～S相の波形のスペクトルの

振幅比を周期について示したのが Fig. 2 である。

Fig. 2, a)にはNo.1とNo.2の極近地地震、Fig. 2, b)にはNo.3とNo.6の深い地震、Fig. 2, c)にはNo.4とNo.5の浅い地震の場合である。図a), b), c)の間には明瞭な相違がみられ、a)では二つの地震とも周期約0.6秒付近を最大値として周期の短かい方と長い方のいづれも振幅比が減衰している。b)では振幅比と周期の関係は約0.6秒付近で短周期成分は減少し、長周期成分はほぼ一定値をとっているとみるとができる。最後にc)ではNo.4の地震では長周期成分でやや右下りとなっている。

のスペクトルのレベル比は速度比  $V_p/V_s$  の 3乗となる。

ここでは Fig. 2, a), b), c)に示されたスペクトル振幅比において入力地震波の影響が残っていると考え、これを補正することにより振動特性を見やすくする。その意味合いにおいて前述の発生機構によるスペクトルの形を考えてみよう。層構造の基礎に到達する波のスペクトルとして図式的にモデルを想定しておく。それは Fig. 3, a), b)の上図には S波および P波のス

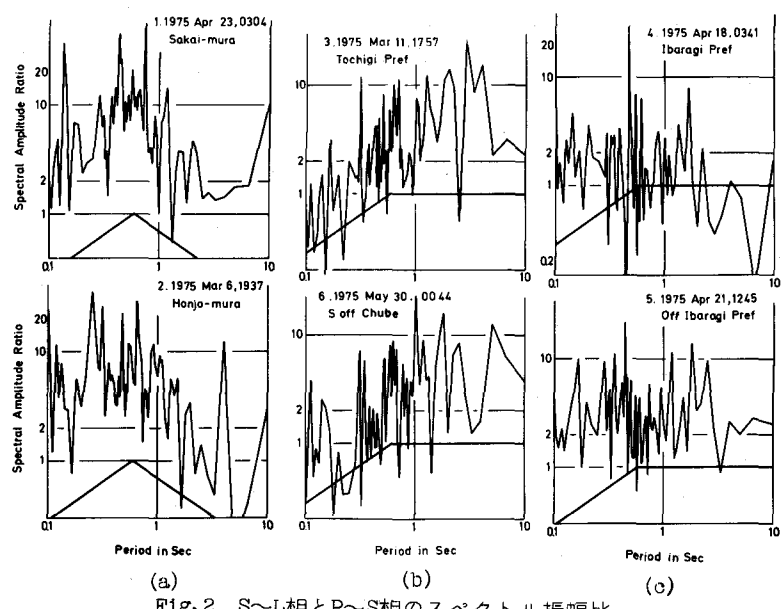


Fig. 2 S～L相とP～S相のスペクトル振幅比

ベクトルを速度値で表現し、下図に振幅比を示してある。図 a)は近くで比較的マグニチュードの小さい場合で、もしマグニチュードが大きくなると点線のようになると思われる。図 b)にはやや遠い地震の場合、あるいは近くてもマグニチュードが大きくなると図 a)の点線表示の場合の拡張としてこのようになるとされる。この図式表現で S波と P波のレベルについて前述の  $(V_p/V_s)^3 = 5.2$  (ポアソン比 0.25 の場合)とした。この理論値については今後観測からはっきりさせたいが、Fig. 2, a)の極近地地震ではほぼこの値に近い結果となっている。なお Fig. 3, a), b)における短周期側における S波スペクトルの傾斜は 1.7 としてあるが、それは P波のスペクトルと振幅 10 のところで合せてあるためで今後基盤までの S波、P波の吸収の議論をして決めねばならない。ここではあくまでも第 1 近似とし Fig. 2 の観測結果に対する補正值として決めたことであり、Fig. 2, a)には Fig. 3, a) の振幅比の曲線、また Fig. 2, b), c)には Fig. 3, b) の曲線が示されている。従って Fig. 2 のスペクトル振幅について、表示された補正曲線により書き直すと Fig. 4 に図示したスペクトルとなる。いまこれを地表層構造の振動特性として次に議論してみる。

### 3-3 地表層構造の振動特性と理論値

Fig. 4 にあらわされたスペクトルをみると 6 つの地震について若干の差はあるが、かなり共通した卓越周期が認められる。すなわち周期 0.15 秒、0.25～0.30 秒、0.5～0.7 秒、1 秒、1.5 秒あたりに対応して振幅比が大きくなっている。

ここで理論計算と比較するために定常的な正弦波が成層構造に入射する場合の応答について調べてみる。多層構造において鉛直下方より SH 波が入射するときの振幅一周期特性について最近 Tsai (1970) が計算している。その方法に準じて観測地点の構造モデルで計算してみた。Fig. 5 にボーリング結果の土質柱状図と N 値の分布を示している。40m 以上の深さについては近傍のボーリング資料に基づいて構造のモデルを作り、計算を行なった一例が Fig. 6 である。図には基盤までの深さを 300m ととっており、図中の速度分布の構造では基本周期は 4.0 秒となっており、Fig. 6 に表われている周期範囲の卓越周期は高次のもの

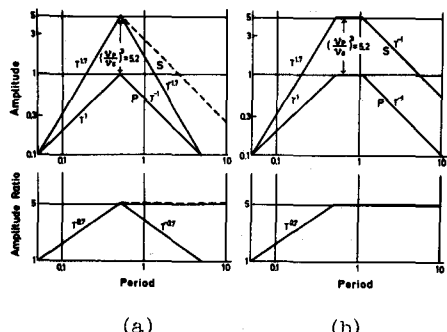


Fig. 3 基盤における P 波と S 波のスペクトル模式図

のである。

Fig. 6 と Fig. 4, a), b) を比較してみるとスペクトルの傾向はよく一致しているとみることができ。すなわち No. 1, No. 2 のような極近地地震及び No. 3, No. 6 のようなやや遠いが深い地震の場合には、観測点付近の構造内の重複反射の理論でよく説明されることになる。一方 Fig. 4, c) における No. 4 と No. 5 のやや遠

くて浅い地震の場合には、約 0.5 秒以上のやや長い周期範囲では理論とほぼ一致する。しかし周期約 0.3 秒以下の短周期成分では理論値より大きくなっている。このことは P~S 相に比べて S 波以後の振幅が大きくなっていることに対応しているから、表面波的な伝播機構の方が卓越しているように思われる。

次に Fig. 6 に点線で画いている地下 17m における振動特性についてみてみよう。観測値として No. 1 の地震の地中観測について得られた S~L 相と P~S 相のスペクトルの振幅比を Fig. 7 に示す。Fig. 6 の理論値と比較すると定性的な傾向はほぼ一致しているとみてよい。すなわち周期約 0.8 秒以下の成分はごく地表付近の構造に支配されている。

このように地表及び地中の観測について P~S 相と S~L 相との波形の比較から表層構造をかなり明らかにすることが出来るようと思われる。

#### 4. むすび

1. S~L 相と P~S 相のスペクトルの振幅比から地下構造との対応を調べると、周期約 1.8 秒以下の振動特性でも深さ 300m 程度のかなり深い構造を考える必要があるよう思われる。

2. 地下構造について仮定された速度分布で地表の観測を大凡説明でき、また極近地地震の場合について深さ 17m における観測も同じモデルで説明できた。

3. 極近地地震ややや遠くて深い地震の場合には地震波形のスペクトルでは地表層構造内の鉛直入射による重複反射で説明できる。一方やや遠くて浅い地震では表面波の伝播特性が影響し、したがって入射角を考慮した重複反射を議論すべきであろう。

本研究における計算には東大型計算機を使わせて載いた。

Ref.

- Hanks, T. C., and M. Wyss (1972) : B. S. S. A., 62, 561~589  
Tsai, N. C. (1970) : B. S. S. A., 60, 795~808

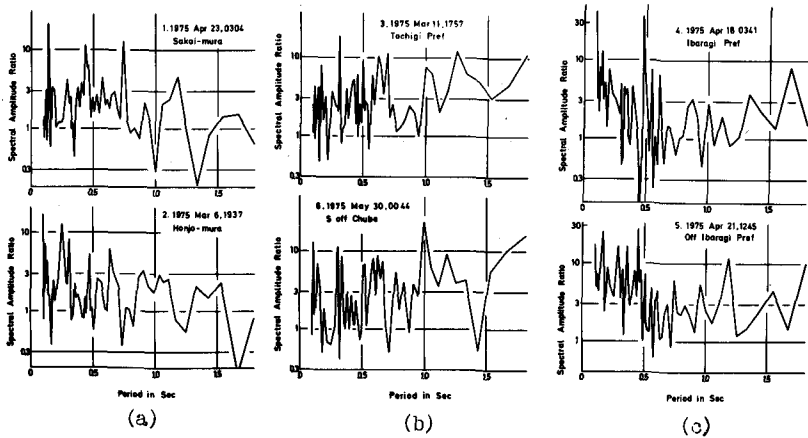


Fig. 4 地表層構造の振幅 - 周期特性

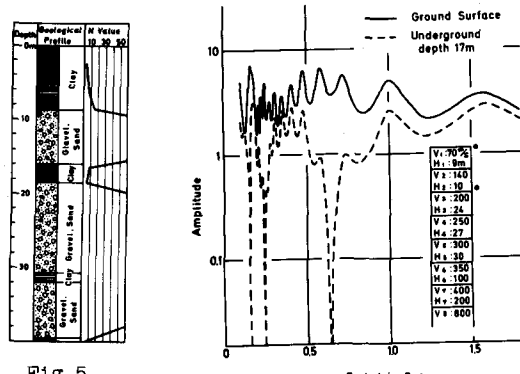


Fig. 5

土質柱状図

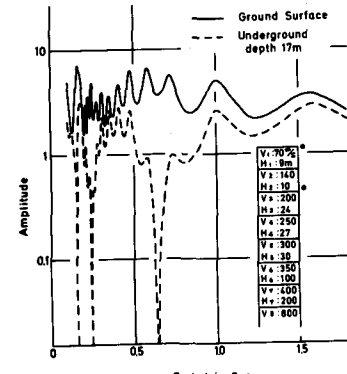


Fig. 6 地表および地中(17m)  
の振動特性

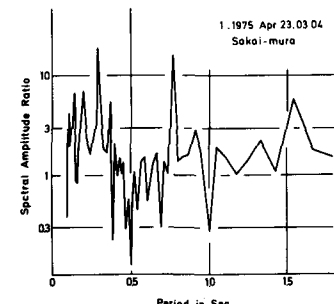


Fig. 7 地中(17m)における  
振幅 - 周期特性